

# Τεχνικές Βελτιστοποίησης — 1ο Παραδοτέο

Αναζήτηση ελαχίστου: Διχοτόμος, Χρυσή Τομή, Fibonacci, Διχοτόμος με Παράγωγο

Χρήστος Αλεξόπουλος-10618

## Contents

1 Εισαγωγή	2
2 Μέθοδος Διχοτόμου	2
3 Μέθοδος Χρυσής Τομής	4
4 Μέθοδος Fibonacci	5
5 Διχοτόμος με χρήση παραγώγου	7
Παρατηρήσεις & Συμπεράσματα	10
Συγκριτική Αξιολόγηση Μεθόδων	12
Αρχιτεκτονική & Οργάνωση Κώδικα	12

# 1 Εισαγωγή

Στόχος της εργασίας είναι η πειραματική μελέτη τεσσάρων κλασικών μεθόδων μονοδιάστατης αναζήτησης ελαχίστου στο  $[a, b]$ : Διχοτόμος, Χρυσή Τομή, Fibonacci, Διχοτόμος με παράγωγο. Μετράμε τον αριθμό κλήσεων της συνάρτησης  $f$  ως προς  $l$  (το μήκος του διαστήματος ενδιαφέροντος) και ως προς  $\varepsilon$  (ανεκτικότητα) και προβάλλουμε την αλλαγή του διαστήματος  $(a_k, b_k)$  για κάθε επανάληψη της μεθόδου. Η υλοποίηση των μεθόδων βασίζεται στις παραγράφους του βιβλίου 5.1.1, 5.1.2, 5.1.3, 5.1.4.

## 2 Μέθοδος Διχοτόμου

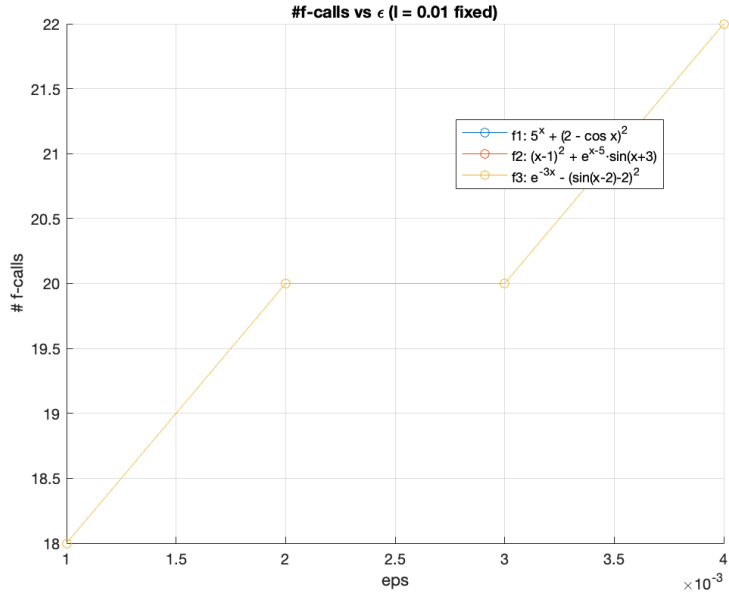
### 1) Σύνοψη

Σε κάθε βήμα:  $m = \frac{a_k + b_k}{2}$ ,  $x_{1k} = m - \varepsilon$ ,  $x_{2k} = m + \varepsilon$ . Αν  $f(x_{1k}) < f(x_{2k})$  κρατάμε  $[a_k, x_{2k}]$ , αλλιώς  $[x_{1k}, b_k]$ . Μήκος:  $L_{k+1} = \frac{L_k}{2} + \varepsilon \Rightarrow L_k = (L_0 - 2\varepsilon)2^{-k} + 2\varepsilon$ . Τερματισμός όταν  $L_k \leq l$ :

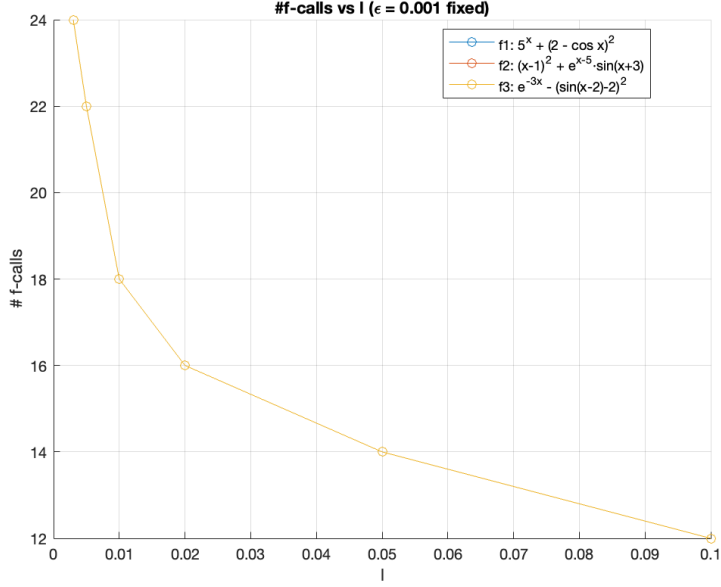
$$k = \left\lceil \log_2 \frac{L_0 - 2\varepsilon}{l - 2\varepsilon} \right\rceil$$

,  $\#f\text{-calls} = 2k$  (απαιτείται  $l > 2\varepsilon$ ).

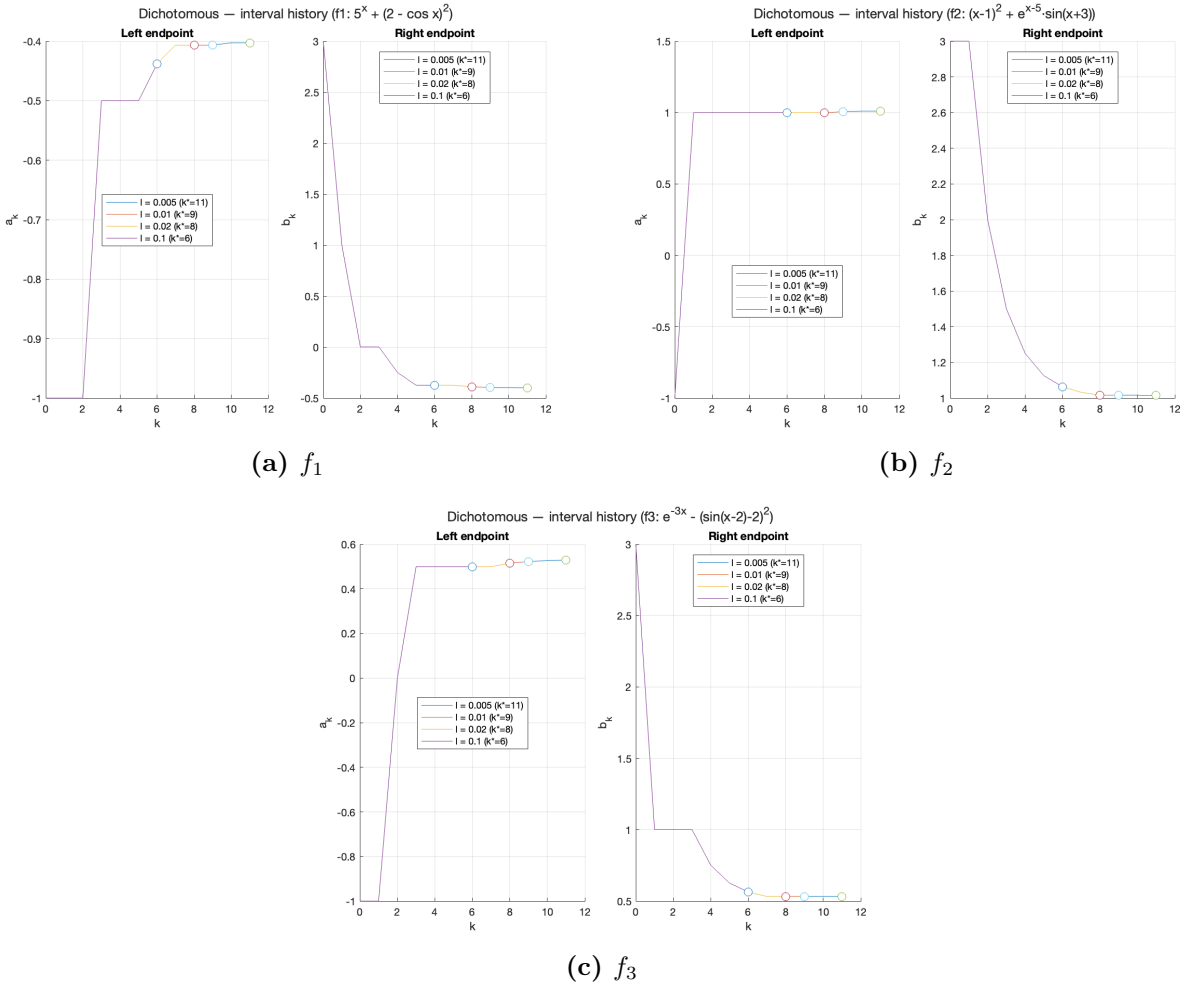
### 2) Αποτελέσματα



**Figure 1:**  $\#f\text{-calls}$  vs  $\varepsilon$  (σταθερό  $l$ ).



**Figure 2:** # $f$ -calls vs  $\epsilon$  ( $\sigma\tau\alpha\vartheta\epsilon\rho\circ\epsilon$ ).



**Figure 3:** Αλλαγή  $[a_k, b_k]$  για πολλές τιμές  $l$  ( $\sigma\tau\alpha\vartheta\epsilon\rho\circ\epsilon$ ).

### 3 Μέθοδος Χρυσής Τομής

#### 1) Σύνοψη

Ορίζουμε  $\gamma = \frac{\sqrt{5}-1}{2} \approx 0.618$ . Αρχικοποίηση:  $x_{1,1} = a_1 + (1-\gamma)(b_1 - a_1)$ ,  $x_{2,1} = a_1 + \gamma(b_1 - a_1)$ . Reuse μίας τιμής 1 νέα κλήση/βήμα. Σύσπαση:  $L_{k+1} = \gamma L_k \Rightarrow L_k = \gamma^k L_0$ . Τερματισμός όταν  $L_k \leq l$ :

$$k = \left\lceil \frac{\ln(l/L_0)}{\ln \gamma} \right\rceil$$

, # $f$ -calls =  $2 + k$ .

#### 2) Αποτελέσματα

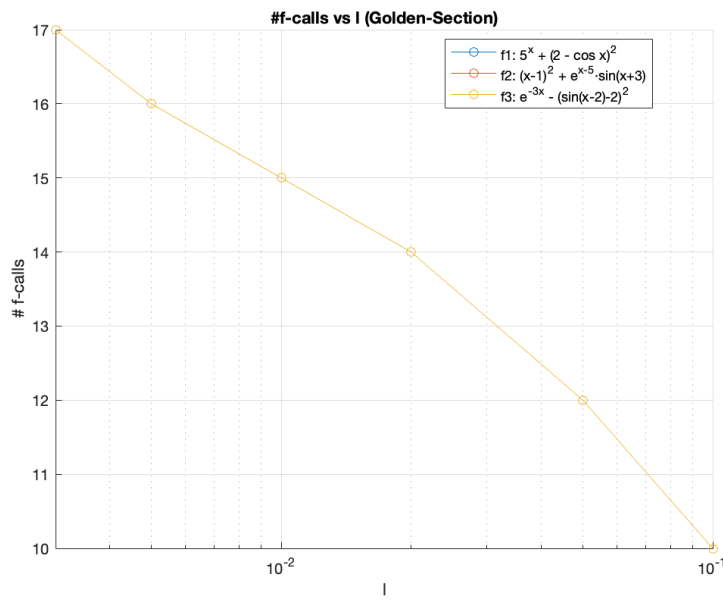
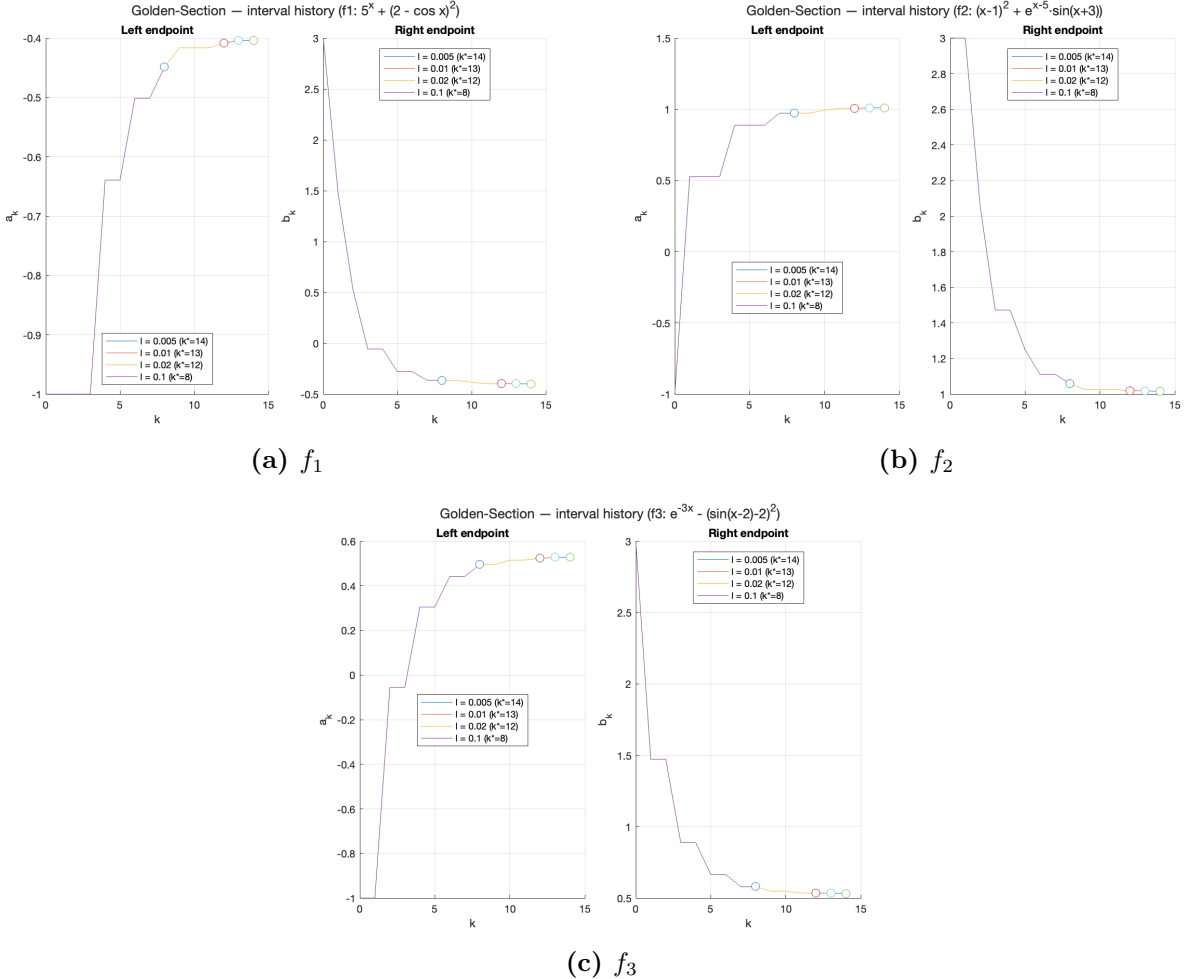


Figure 4: # $f$ -calls vs  $l$  (Χρυσή Τομή).



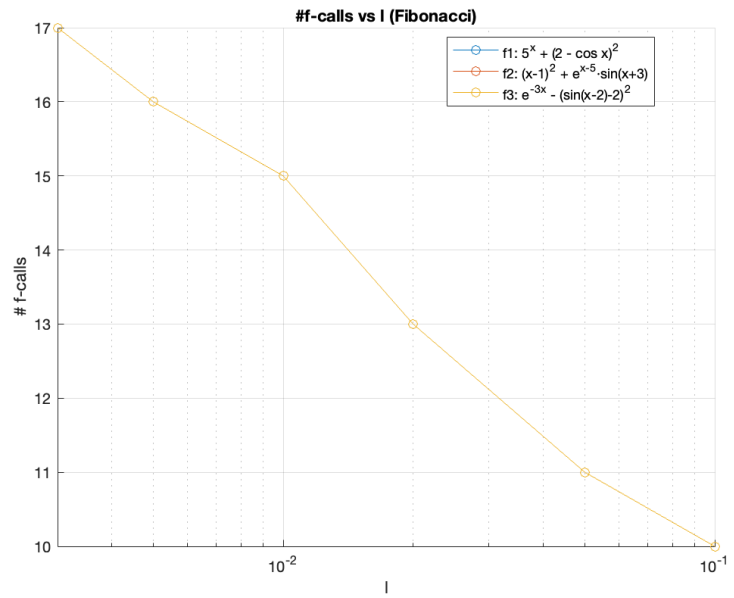
**Figure 5:** Αλλαγή  $[a_k, b_k]$  για πολλές τιμές  $l$  (Χρυσή Τομή).

## 4 Μέθοδος Fibonacci

### 1) Σύνοψη

Διαλέγουμε ελάχιστο  $n$  με  $F_n > L_0/l$ . Αρχικοποίηση:  $x_{1,1} = a_1 + \frac{F_{n-2}}{F_n}(b_1 - a_1)$ ,  $x_{2,1} = a_1 + \frac{F_{n-1}}{F_n}(b_1 - a_1)$ . Ρευστή 1 νέα κλήση/βήμα. Μήκος:  $L_k = \frac{F_{n-k}}{F_n}L_0 \Rightarrow L_n \leq L_0/F_n \leq l$ . Με σωστό ρευστό στο τέλος:  $\#f\text{-calls} = n$ .

## 2) Αποτελέσματα



**Figure 6:**  $\# f\text{-calls}$  vs  $l$  (Fibonacci) — «σκαλοπάτια» λόγω ακέραιου  $n$ .

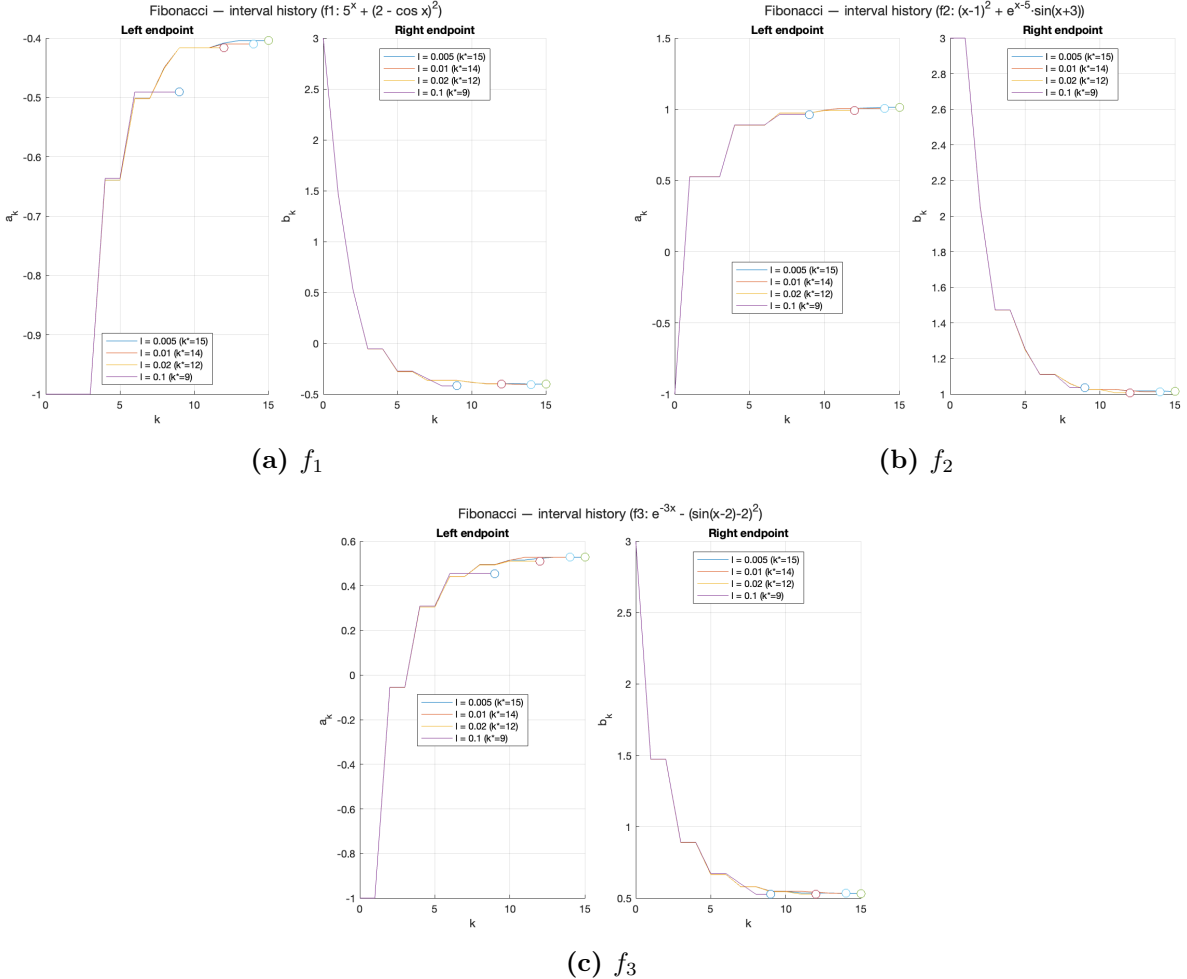


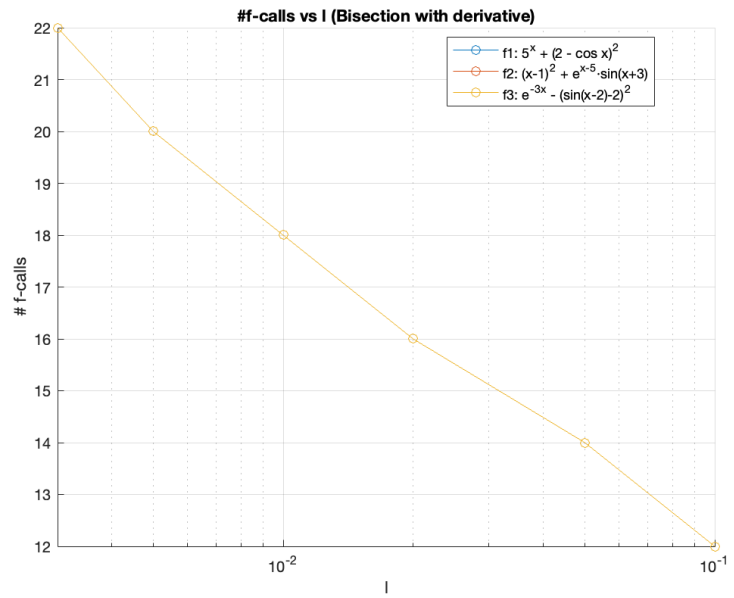
Figure 7: Αλλαγή  $[a_k, b_k]$  για πολλές τιμές  $l$  (Fibonacci).

## 5 Διχοτόμος με χρήση παραγώγου

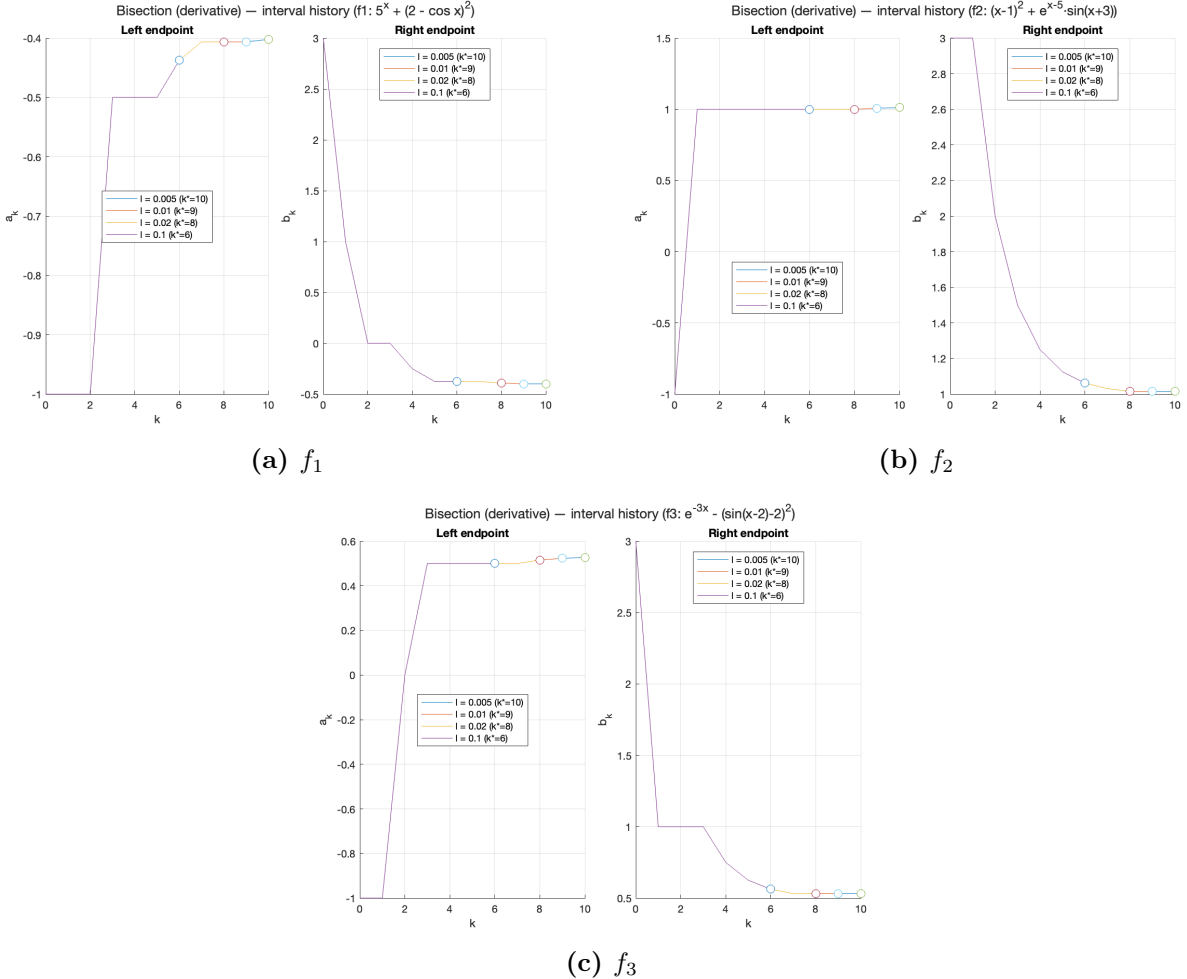
### 1) Σύνοψη

$\Sigma \varepsilon x_k = \frac{a_k+b_k}{2}$ :  $f'(x_k) > 0 \Rightarrow [a_{k+1}, b_{k+1}] = [a_k, x_k]$ ,  $f'(x_k) < 0 \Rightarrow [a_{k+1}, b_{k+1}] = [x_k, b_k]$ .  
 Μήκος:  $L_k = L_0/2^k$ . Με αριθμητική παράγωγο (κεντρικό διαφορικό) 2 κλήσεις  $f/\beta$ μα: # $f$ -calls  $\approx 2 \lceil \log_2(L_0/l) \rceil$ .

## 2) Αποτελέσματα



**Figure 8:** # $f$ -calls vs  $l$  (αριθμητική παράγωγος).

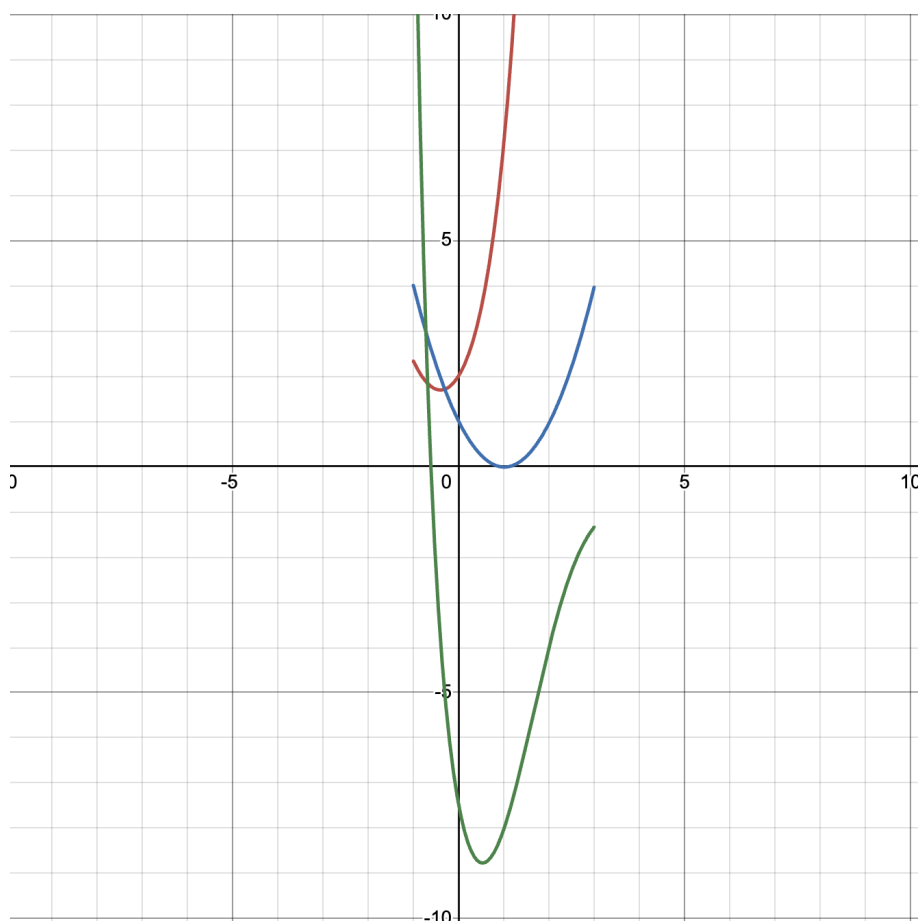


**Figure 9:** Αλλαγή  $[a_k, b_k]$  για πολλές τιμές  $l$  (Διχοτόμος με παράγωγο).

## Παρατηρήσεις & Συμπεράσματα

- 1) Σε όλες τις μεθόδους παρατηρούμε ότι τα  $\#f\text{-calls}$  μειώνονται καθώς το  $l$  μεγαλώνει. Αυτό είναι αναμενόμενο: όσο πιο «χαλαρή» είναι η τελική ακρίβεια διαστήματος, τόσο λιγότερα βήματα χρειαζόμαστε για να ολοκληρωθεί η μέθοδος αφού η συνθήκη για το αν είμαστε μέσα στο τελικό διάστημα συναντάται πιο γρήγορα.
- 2) Σε όλες τις μεθόδους βλέπουμε μία καμπύλη αντί για 3 στα διαγράμματα των  $\#f\text{-calls}$ . Τα  $\#f\text{-calls}$  ως προς  $l$  εξαρτώνται μόνο από **γεωμετρία σύσπασης** (ο κανόνας με τον οποίο μικραίνει συστηματικά το μήκος του διαστήματος, π.χ.  $L_{k+1} = rL_k$  ή  $L_{k+1} = \frac{1}{2}L_k + \varepsilon$ ) και το σταθερό κόστος ανά βήμα (πόσες αξιολογήσεις της  $f$  γίνονται σε κάθε επανάληψη μετά την αρχικοποίηση), άρα οι καμπύλες για  $f_1, f_2, f_3$  επικαλύπτονται.

**Οπτική επαλήθευση.** Οι τρεις συναρτήσεις που χρησιμοποιήθηκαν έχουν παρόμοια μορφή στο  $[-1, 3]$ .



**Figure 10:** Οπτικοποίηση των  $f_1, f_2, f_3$  (Desmos). Οι καμπύλες είναι μονοκορυφικές στο  $[-1, 3]$ , οπότε οι μέθοδοι σύσπασης εμφανίζουν ίδια καμπύλη  $\#f\text{-calls}$  ως προς  $l$ .

3) Για τα διαστήματα  $[a_k, b_k]$  ως συνάρτηση του  $k$  βλέπουμε ότι, για κάθε μέθοδο και για σταθερή  $f_i$ , οι καμπύλες για διαφορετικά  $l$  δίνουν την ίδια γραφική παράσταση και απλώς τερματίζουν σε διαφορετικό  $k$  (άρα και σε διαφορετικά τελικά όχρα). Με απλά λόγια για μικρότερο  $l$  απαιτείται μεγαλύτερο  $k^{(l)}$  με ίδια τροχιά  $[a_k, b_k]$  αλλά περισσότερα βήματα πριν να τελειώσουμε την αναζήτηση.

4) Επαληθεύουμε ότι οι μέθοδοι εντοπίζουν τα ελάχιστα σημεία τα οποία βλέπουμε από τα διαγράμματα των  $[a_k, b_k]$  και είναι και αυτά που βλέπουμε και στο Desmos, τα εκτιμώμενα ελάχιστα είναι:

$$x^{f_1} \approx -0.4014, \quad x^{f_2} \approx 1.01307, \quad x^{f_3} \approx 0.53116.$$

Η σύγκλιση των  $[a_k, b_k]$  στα σημεία φαίνεται στα αντίστοιχα plots.

## Συγκριτική Αξιολόγηση Μεθόδων

Παρατηρούμε ότι για το πλήθος κλήσεων της  $f$  ισχύει η παρακάτω σχέση:

$$\text{Fibonacci} \lesssim \text{Χρυσή Τομή} < \Delta\text{ιχοτόμος με Παράγωγο} < \Delta\text{ιχοτόμος}.$$

Η Fibonacci και η Χρυσή τομή χρειάζονται τις λιγότερες κλήσεις, η Διιχοτόμος με παράγωγο έχει την αμέσως καλύτερη απόδοση και η κλασική Διιχοτόμος την χειρότερη από τις 4.

### Ποιοτική σύγκριση.

- **Fibonacci vs Χρυσή Τομή:** Και οι δύο κάνουν 1 νέα αξιολόγηση/βήμα. Η Fibonacci επιλέγει βέλτιστη σύσπαση κατά βήμα με βάση τους  $F_n$ .
- **Διιχοτόμος με Παράγωγο:** Γραφικός ρυθμός αλλά επειδή χρησιμοποιούμε κεντρική διαφορά για τον υπολογισμό της παραγώγου έχουμε 2 κλήσεις/βήμα. Αν χρησιμοποιούσαμε αναλυτική παράγωγο, οι κλήσεις της συνάρτησης  $f$  θα ήταν 0 ανα βήμα.
- **Διιχοτόμος:** Δύο αξιολογήσεις/βήμα και σύσπαση με τον πρόσθετο όρο  $\varepsilon$ , άρα λιγότερο αποδοτική. Επίσης χρειάζεται να προσέξουμε να θέσουμε τον περιορισμό  $l > 2\varepsilon$ .

Συμπέρασμα:

Για ίδιες απαιτήσεις ακρίβειας  $l$  και για αυτές τις  $f$  που έχουμε, η Fibonacci και η Χρυσή Τομή είναι γενικά πιο αποδοτικές(λιγότερες φορές καλούμε την  $f$ ). Η Διιχοτόμος με Παράγωγο είναι καλύτερη όταν υπάρχει αναλυτική παράγωγος(θα μπορούσαμε να υπολογίσουμε τις αναλυτικές παραγώγους(αφού δίνονται αναλυτικά οι  $f$ ) απλά το κάναμε με την κεντρική διαφορά για λόγους γενίκευσης και το σχολιάζουμε εδώ). Η Διιχοτόμος είναι η πιο απλή αλλά χρειάζεται τις περισσότερες κλήσεις.

## Αρχιτεκτονική & Οργάνωση Κώδικα

Δομή φακέλων.

```
project/
  main.m
  figs/                                % όλα τα παραγόμενα διαγράμματα
  src/
    methods/                            % υλοποιήσεις αλγορίθμων
      dichotomous.m
      golden_section.m
      fibonacci.m
      bisection_derivative.m
    experiments/                      % scripts που τρέχουν πειράματα & αποθηκεύουν σχήματα
      ex_dichotomous.m
      ex_golden.m
      ex_fibonacci.m
```

```

ex_bisection_derivative.m
utils/                                % κοινές βοηθητικές ρουτίνες
    count_calls_wrapper.m
    harness_run.m
    plot_interval_history.m
    l_vs_eps.m
test_functions.m                         % ορισμός f1,f2,f3 και κοινού διαστήματος [a,b]

```

**Ενιαίο interface μεθόδων.** Κάθε μέθοδος υλοποιείται ως συνάρτηση:

$$[ xmin, a_hist, b_hist, iters, f_calls ] = \text{method}(f, a1, b1, cfg)$$

όπου:

- $f$  είναι function handle της αντικειμενικής συνάρτησης,
- $[a1, b1]$  το αρχικό διάστημα,
- $cfg$  περιέχει τις παραμέτρους της μεθόδου (π.χ.  $l$ ,  $\epsilon$ ,  $h$ ,  $df$ ).
- Επιστρέφονται: εκτίμηση ελαχίστου ( $xmin$ ), πορεία των άκρων ( $a_hist$ ,  $b_hist$ ), επαναλήψεις ( $iters$ ), και  $f_calls$ .

**Μετρητής κλήσεων  $f$ .** Η `count_calls_wrapper.m` τυλίγει την  $f$  και αυξάνει μετρητή κάθε φορά που καλείται. Έτσι μετράμε ομοιόμορφα το χόστος ανεξάρτητα από τη μέθοδο.

**Harness εκτέλεση.** To `harness_run.m`:

- τρέχει μια μέθοδο για όλες τις  $f_i$  και για όλες τις τιμές μιας παραμέτρου (π.χ.  $l$ ,  $\epsilon$ ),
- καταγράφει `a_hist`, `b_hist`, `iters`, `#f-calls`,
- επιστρέφει δομή `results` με `entries` ανά run (μας βολεύει για plotting).

**Experiments & plots.** Τα αρχεία στο `src/experiments/` ορίζουν ποιες σαρώσεις κάνουμε (π.χ.  $\#f$ -calls vs  $l$ ,  $\#f$ -calls vs  $\epsilon$ , "ιστορίες"  $[a_k, b_k]$ ) και αποθηκεύουν σχήματα στον φάκελο `figs/`.

`plot_interval_history.m`: εμφανίζει  $[a_k]$  και  $[b_k]$  ανά  $k$  για πολλαπλά  $l$  στο ίδιο figure.

**Συναρτήσεις δοκιμής.** To `test_functions.m` ορίζει τις  $\{f_1, f_2, f_3\}$  και το κοινό αρχικό διάστημα  $[-1, 3]$ .

### Σημείωση για το `cfg`

To `cfg` είναι το «πακέτο ρυθμίσεων» που περνά σε κάθε μέθοδο ώστε τα experiments να είναι ομοιόμορφα. Βασικά πεδία που χρησιμοποιούμε:

- $l$ : στόχος τελικούς μήκους διαστήματος,

- `eps`: παράμετρος  $\varepsilon$ ,
- `h, grad_tol`: αριθμητική παράγωγος,
- `df`: αναλυτική παράγωγος,
- `param_name, values`: η σάρωση των παραμέτρων που κάνουμε στα διάφορα experiments (π.χ. ως προς  $l$ ).

Στα `ex_*` scripts ορίζουμε ένα `base cfg` και για κάθε `run` αλλάζει μόνο η τρέχουσα τιμή της παραμέτρου (π.χ.  $l$ ), όλα τα υπόλοιπα μένουν ίδια.